Über Pentafluorphenyl-Verbindungen der V. Hauptgruppe V 1

## Infrarotspektroskopische Untersuchungen an Pentaflourphenylphosphor-Verbindungen

M. FILD, I. HOLLENBERG und O. GLEMSER

Anorganisch-Chemisches Institut der Universität Göttingen

(Z. Naturforschg. 22 b, 248-253 [1967]; eingegangen am 16. September 1966)

Die IR-Spektren der Verbindungen  $C_6F_5PX_2$  (X = H,  $CH_3$ , Cl, Br), Tris (pentafluorphenyl)-phosphin und Tris (pentafluorphenyl) phosphinoxyd im Bereich  $4000 > \nu \, (\mathrm{cm}^{-1}) > 300$  werden mitgeteilt und nach Gruppenfrequenzen zugeordnet.

Der Frequenzgang der PO-Valenzschwingung in der Reihe  $R_n(C_6F_5)_{3-n}PO$  (R =  $CH_3$ ,  $C_2H_5$ ,  $C_6H_5$ ) wird eingehend diskutiert.

Während über Ultrarot- und Raman-Spektren von Phenylderivaten des Phosphors eine große Anzahl von Publikationen vorliegen, sind von Pentafluorphenyl-Verbindungen der V. Hauptgruppe bisher keine Untersuchungen bekannt.

Die Schwingungsspektren von Hexafluorbenzol und einige seiner Derivate wie  $C_6F_5H$ ,  $C_6F_5D$ ,  $C_6F_5Cl$ ,  $C_6F_5Br$  und  $C_6F_5J$  sind erst kürzlich vermessen und interpretiert worden  $^{2-6}$ . Mit der Annahme, daß die Verbindungen  $C_6F_5-X$  planar gebaut und ihnen die Symmetrie  $C_{2v}$  zukommt, berechneten Long und Steele <sup>4</sup> die Lage der "in-plane"-Schwingungen nach einem Valenzkraftsystem unter Benutzung der Kraftkonstanten des  $C_6F_6$  und entsprechender Berücksichtigung der Massen der Substituenten.

Die Übereinstimmung der berechneten mit den beobachteten Werten war zufriedenstellend.

Diese Zuordnung wurde durch Hyams und Mitarbb. 6 bestätigt und durch die Angabe der "out-ofplane"-Schwingungen für C<sub>6</sub>F<sub>5</sub>Cl, C<sub>6</sub>F<sub>5</sub>Br und C<sub>6</sub>F<sub>5</sub>J vervollständigt.

Die hier betrachteten Moleküle des Typs C<sub>6</sub>F<sub>5</sub>PX<sub>2</sub> (X=H, Cl, CH<sub>3</sub> und Br) haben C<sub>s</sub>-Symmetrie. Zur Vereinfachung und vergleichenden Diskussion mit Pentafluorphenylhalogeniden sollen die Schwingungen der C<sub>6</sub>F<sub>5</sub>-P-Gruppierung, welcher C<sub>2v</sub>-Symmetrie zukommt, gesondert betrachtet werden (unter der Annahme geringer Kopplungen zwischen den

Teilsystemen). Die Grundschwingungen der Gruppe  $C_6F_5-P$  klassifizieren sich dann wie folgt nach den Symmetrierassen von  $C_{2\nu}$ 

$$C_{2v} = 11 A_1(IR, R) + 3 A_2(R) + 10 B_1(IR, R) + 6 B_2(IR, R)$$

Die restlichen Schwingungen der Moleküle C<sub>6</sub>F<sub>5</sub>PX<sub>2</sub> lassen sich dann der Gruppierung CPX<sub>2</sub> mit C<sub>s</sub>-Symmetrie zuordnen. Diese klassifizieren sich nach

$$C_8 = 4 A + 2 A'$$

Hierbei ist die P-C-Valenzschwingung, die bei  $C_6F_5-P$  in  $A_1$  und bei  $CPX_2$  in A' fällt, doppelt gezählt. Die fehlende Schwingung ist eine Torsionsschwingung um die P-C-Achse. Im Falle der Methylverbindung treten zusätzlich die inneren Schwingungen der  $CH_3$ -Gruppen auf.

Die Frequenzen und Intensitäten sind in der Tab. 1 zusammengestellt und den Gruppenfrequenzen zugeordnet. Für Aussagen über Bindungsverhältnisse im Molekül ist die Lage der P-C- und der P-X-Absorptionen entscheidend. Zur Diskussion wurden Vergleiche mit den Bandenlagen von Derivaten des Typs  $C_6H_5PX_2$  durchgeführt, die von Goubeau und Langhard und untersucht worden sind.

In den Halogen-Derivaten  $C_6F_5X$  liegen die fünf höchsten Schwingungen der Rasse  $A_1$  bei 1640, 1520, 1430, 1300 und  $1100 \text{ cm}^{-1}$ . Sie zeigen nur geringen Masseneffekt. In den Phosphorverbindungen erhalten wir die erste Absorption zwischen 1648

<sup>&</sup>lt;sup>1</sup> IV. Mitt.: M. Fild, O. Glemser u. I. Hollenberg, Z. Naturforschg. 21 b, 920 [1966].

<sup>&</sup>lt;sup>2</sup> D. Steele u. D. H. Whiffen, Trans. Faraday Soc. 55, 369 [1959].

<sup>&</sup>lt;sup>3</sup> D. Stelle u. D. H Whiffen, Spectrochim. Acta [London] 16, 368 [1960].

<sup>&</sup>lt;sup>4</sup> D. A. Long u. D. Steele, Spectrochim. Acta [London] 19, 1947 [1963].

<sup>&</sup>lt;sup>5</sup> D. A. Long u. D. Steele, Spectrochim. Acta [London] 19, 1955 [1963].

<sup>&</sup>lt;sup>6</sup> I. J. Hyams, E. R. Lippincott u. R. T. Bailey, Spectrochim. Acta [London] 22, 695 [1966].

<sup>&</sup>lt;sup>7</sup> J. Goubeau u. D. Langhardt, Z. anorg. allg. Chem. 338, 163 [1965].

| $C_6F_5PH_2$         | $C_6F_5P(CH_3)_2$    | $\mathrm{C_6F_5PCl_2}$              | $C_6F_5PBr_2$                              | Zuordnung   |
|----------------------|----------------------|-------------------------------------|--|---|
|                      | 2975 m               |                                     |  | 1)  |
|                      | 2900 m               |                                     |  | ν CH <sub>3</sub>                                   |
|                      | 2820 m               |                                     |  | J   |
| 2350  sch            |                      |                                     |  | $v PH_2$  |
| 2325 m               |                      |                                     |  | J 1112  |
| 1988 ss              | 1976 s, b            | 1991  ss                            | 1992  ss                                   |   |
| 1799 ss              | 1800 ss              | 1802 ss                             | 1800 ss                                    | Kombinations-                                       |
| 1730 ss              | 1720 s               | 1740 s                              | 1740 s                                     | schwingungen  |
| 1675 s               | 1660 sch             | 1675 s                              | 1680 s                                     | (0.0)   |
| 1648 sst             | 1642 sst             | 1645 sst                            | 1644 sst                                   | $\omega(C-C)$                                       |
| 1630 m               | 1630 m               | 1600 m                              | 1591 m                                     | Trl.  |
| 1590 s               | 1585 m               | 1585 m                              | 1580 s                                     | Kombinations-                                       |
| 1565 ss              | 15401                | 1550                                | $\frac{1565 \text{ ss}}{1550 \text{ sch}}$ | schwingungen  |
| 1545 sch<br>1515 sst | 1548 sch<br>1512 sst | $1550 	ext{ sch}$ $1515 	ext{ sst}$ | 1516 sst                                   | $\omega(C-C)$                                       |
| 1493  sch            | 1312 SSU             | 1495 )                              |  | $\omega(C-C)$                                       |
| 1495 sch<br>1485 sst | 1475 agt h           | $\frac{1495}{1485}$ sst $\}$        | 1495                                       | $\omega(C-C)$                                       |
| 1469 SSU             | 1475 sst, b          | 1473                                | $1485 \}$ sst $1472 \}$                    | $\omega(C-C)$                                       |
|                      | 1430                 | 1475                                | 1472)                                      | & (CH-)   |
|                      | 1450                 | 1425 ss                             | 1415 ss                                    | $\delta_{\mathrm{as}}(\mathrm{CH_3})$               |
| 1400 m               | 1382 st              | 1390 sst                            | 1390 sst                                   | v(CF)   |
| 1370 m               | 1352 st              | 1990 880                            | 1360 sst                                   | V(OF)   |
| 1325 m               | 1552 8               | 1312 ss                             | 1317 s                                     |   |
| 1295 st              | 1301 st              | 1300 sst                            | 1300 sst                                   | v(CF)   |
| 1230 St              | 1287 st              | 1000 880                            | 1000 880                                   | $\delta_{\rm s}({ m CH_3})$                         |
| 1265 ss              | 1207 50              | 1265 m                              | 1261 s                                     | $\omega(C-C)$                                       |
| 1200 88              | 1258 m               | 1200 III                            | 1201 5                                     | $\delta_{\rm s}({ m CH_3})$                         |
| 1240 s               | 1225 ss              | 1203 ss                             | 1205  ss                                   | 08(0113)  |
| 1180 s               | 1170 s               | 1180 ss                             | 1200 55                                    |   |
| 1142 m               | 1135 m               | 1150 m                              | 1150 m                                     | v(CF)   |
|                      | 1115 sch             | 1120 sch                            | 1120 m                                     | , (02)  |
| 1093  sst            | 1090 sst             | 1098 sst                            | 1098 sst                                   | v(CF)   |
| 1068  sch            | 1050 s               | 1050 s                              | 1080 m                                     | (3-)  |
| 1028 sch             |                      |                                     |  |   |
| 1008 sst             | 1015 st              | 1020 st                             | 1020 m                                     |   |
| 988 sst              | 985 sst              | 985 sst                             | 984 sst                                    | $\nu(CF)$   |
|                      | 945 m                |                                     |  | $\varrho(CH_3)$                                     |
|                      |                      |                                     | 942 s                                      |   |
|                      |                      |                                     | 918 s                                      |   |
|                      | 904 st               |                                     |  | $\varrho\left(\mathrm{CH_{3}}\right)$               |
|                      | 875 st               |                                     |  | $\varrho\left(\mathrm{CH_{3}}\right)$               |
| $865 \mathrm{\ sch}$ |                      |                                     |  |   |
| 855  sst             | 826 sst              | 840 m                               | 850 m                                      | $\nu(PC)$   |
| 835 s                |                      |                                     | 840 s                                      |   |
| 735 ss               |                      | 758 m                               | 758 s                                      | No. of the second                                   |
| 722 st, b            | 726 m                | 722 st                              | 718 m                                      | $\delta(\mathrm{CF})$                               |
|                      | 708 sst              |                                     |  | $v_{\rm as}({ m CH_3})$                             |
|                      | 668 sst              | 0.5.5                               |  | $v_s(CH_3)$   |
| 666 ss               | 025                  | 662 ss                              | 658  ss                                    | (077)   |
| 640 m                | 628 m                | 628 m                               | 626 m                                      | $\gamma(CF)$  |
| 609 s                |                      |                                     |  | 10 0  |
| 587 m                | 587 m                | 586 s                               | 585 m                                      | $\omega(C-C)$                                       |
|                      |                      | 575 ss                              | <b>7.10</b>                                |   |
| 555 ss, b            |                      | 553 s                               | 548 m                                      |   |
| $515 \mathrm{sch}$   | 700                  | FOF . 7                             | 504  | (OD) (DOI:  |
| $506 \mathrm{\ st}$  | 503 m                | 505 sst, b                          | 504 m                                      | $\omega_{\rm x}({\rm CP}),  \nu_{\rm s}({\rm PCl})$ |
| 440 1                | 445                  | 449                                 | 478 s                                      | S.D.:   |
| 440 s, b             | 445 ss               | 443 s                               | 445 s                                      | $\delta$ -Ring(,,in-plane,,                         |
|                      |                      |                                     | 416 st                                     | $\nu_{\rm as}({ m PBr})$                            |
|                      |                      | 90=                                 | $403 \mathrm{s}$                           | (DOI)   |
|                      |                      | 387 m                               | 900  | $v_{\rm as}({\rm PCl})$                             |
| $377 \mathrm{\ st}$  |                      | 380 m                               | 380 m                                      | $\gamma(CF), \omega_{x}(CP)$ ?                      |
| 000                  |                      | 920                                 | 351 m                                      | $\nu_{\rm s}({ m PBr})$                             |
| $329 \mathrm{\ s}$   |                      | 328 s                               | 327 s                                      | $\gamma(CF)$  |
|                      |                      |                                     | 317 s                                      |   |
| 315 m                |                      | $309 \mathrm{\ s}$                  | 308 m                                      | $\delta(CF)$  |

Tab. 1. Schwingungsspektren der Reihe  $C_6F_5PX_2$ . (ss = sehr schwach, s = schwach, m = mittel, st = stark, sst = sehr stark, sch = Schulter, b = breit.)

und 1642 cm<sup>-1</sup>, die nächste bei 1485 cm<sup>-1</sup>. Hierbei handelt es sich um zwei Ringschwingungen.

Die symmetrische CF-Valenzschwingung bei  $1426~\rm cm^{-1}$  im  $C_6F_5Br$  wird zu  $1400~\rm bis~1390~\rm cm^{-1}$  in den Phosphor-Derivaten verschoben. Zwei weitere CF-Absorptionen erscheinen bei  $1300~\rm und~1095~\rm cm^{-1}$ .

Die Berechnungen von Long und Steele <sup>4</sup> ergeben zwei Schwingungen im Bereich von  $500-600 \, \mathrm{cm^{-1}}$ , eine Ringvalenz- (aus einer  $A_{1g}$  im  $C_6F_6$ ) und eine Ringdeformations-Schwingung (aus einer  $B_{1u}$  im  $C_6F_6$ ). In den hier betrachteten Verbindungen liegt die erste bei 505, die zweite bei 586 cm<sup>-1</sup>.

Die in dieser Rasse auftretenden CF-Deformations-Schwingungen (zwei) liegen nach den Berechnungen unter 300 cm<sup>-1</sup>, der unteren Grenze unseres Meßbereichs.

Die verbleibenden Linien, beide Substituenten-abhängig liegen bei 800 und um 380 cm<sup>-1</sup>. Die höhere ist eindeutig die P-C-Valenzschwingung zwischen 855 und 826 cm<sup>-1</sup>. Diese Phenyl-Elementschwingung erscheint im  $(C_6F_5)_3P$  bei 849 cm<sup>-1</sup> und sinkt auf 800 cm<sup>-1</sup> im  $(C_6F_5)_3As$  bzw. auf 780 cm<sup>-1</sup> im  $(C_6F_5)_3Sb$  ab, was durch die Zunahme der Masse des Zentralatomes verständlich wird.

Die zweite Bande ist eine Ringdeformation, kann aber nicht eindeutig festgelegt werden. In dieser Gegend liegt noch eine CF-Schwingung ("out-ofplane").

Von den zu erwartenden fünf CF-Valenzabsorptionen treten in der Rasse  $B_1$  beim  $C_6F_5Br$  zwei auf. In den  $C_6F_5PX_2$ -Derivaten liegt die eine mit Sicherheit bei  $1150~\rm cm^{-1}$ , während die andere um  $1000~\rm cm^{-1}$  erscheint. Im Pentafluorbrombenzol werden zwei Absorptionen an dieser Stelle gefunden. Die Berechnungen <sup>4</sup> lassen aber in dieser Region im  $C_6F_5Br$  nur eine Grundschwingung zu. Die andere Linie entsteht durch Fermi-Resonanz zwischen dieser Grund- und einer  $B_1$ -Kombinationsschwingung <sup>6</sup>. Auf Grund von Intensitäts-Betrachtungen geben wir der tieferen in den Phosphorderivaten den Vorzug. Eine Ringschwingung bei  $1650~\rm cm^{-1}$  fällt, wie im  $C_6F_5Br$ , mit einer  $A_1$ -Grundschwingung zusammen.

Im Hexafluorbenzol haben wir bei 1530 cm<sup>-1</sup> eine Ringvalenzabsorption vorliegen. Nach Long und Steele spaltet sie im C<sub>6</sub>F<sub>5</sub>Br in eine A<sub>1</sub> bei 1520 und eine B<sub>1</sub> bei 1530 cm<sup>-1</sup> auf. In der Praxis erhält man meistens nur eine Linie. In den Phosphorverbindungen hingegen beträgt die Aufspaltung

etwa 30 cm<sup>-1</sup>, so daß wir der höheren bei 1515 cm<sup>-1</sup> für die B<sub>1</sub>-Komponente den Vorrang geben.

Wie im  $C_6F_5Br$  ist die Linie bei  $1265~cm^{-1}$  einer Ringschwingung zuzuordnen. Eine Absorption bei  $443~cm^{-1}$  im  $C_6F_6$  ( $E_{2g}$ ) gehört zu einer Ringdeformation. Die  $B_1$ -Komponente zeigt in Derivaten  $C_6F_5-X$  die gleiche Lage, so daß wir sie in  $C_6F_5PX_2$  ebenfalls dort erwarten.

Die restlichen vier Banden der Rasse B<sub>1</sub> sind Deformations-Schwingungen. Mit Sicherheit lassen sich nur zwei auffinden, und zwar bei 725 und bei 310 cm<sup>-1</sup>. Die beiden anderen liegen wahrscheinlich unter 300 cm<sup>-1</sup>.

Von Schwingungen der Rassen  $B_2$  und  $A_2$  wurden zwei Absorptionen bei 630 und 330 cm<sup>-1</sup> gefunden, es sind C-F-Deformationsbanden. Die Berechnungen zeigen, daß die verbleibenden Schwingungen unter  $300 \, \mathrm{cm}^{-1}$ , der unteren Meßgrenze, liegen.

Neben Schwingungen des monosubstituierten Benzolringes sind in der Tab. 1 die Frequenzen der Gruppe  $PX_2$  angegeben. Bei der Zuordnung von  $\nu_s$  und  $\nu_{as}$  wurden die Intensitäten mitberücksichtigt und die jeweils stärkste IR-Bande den antisymmetrischen Schwingungen zugeordnet. Beim Pentafluorphenyldimethylphosphin treten dann noch die Schwingungen der  $CH_3$ -Gruppe auf.

Wie Goubeau und Langhardt <sup>7</sup> für Verbindungen des Typs C<sub>6</sub>H<sub>5</sub>PX<sub>2</sub> feststellten, sind die Frequenzwerte der PX-Valenzschwingungen denen von PX<sub>3</sub> ähnlich, die Erwartung für die Lage der Deformationsbanden ist hingegen unsicher.

In der Tab. 2 sind die Mittelwerte der PX-Valenzschwingungen für die Moleküle  $PX_3$ ,  $C_6H_5PX_2$  und  $C_6F_5PX_2$  gegenübergestellt.

|                 | PH   | P(CH <sub>3</sub> ) | PCl        | PBr |
|-----------------|------|---------------------|------------|-----|
| PX <sub>3</sub> | 2326 | 681                 | 495        | 390 |
| $C_6H_5PX_2$    | 2280 | 680                 | 475        | 389 |
| $C_6F_5PX_2$    | 2337 | 688                 | <b>446</b> | 384 |

Tab. 2. Mittelwerte der Valenzschwingungen von  $PX_3$ ,  $C_6H_5PX_2$  und  $C_6F_5PX_2$ .

Bei Einführung einer  $C_6F_5$ -Gruppe wird eine Bindungsverstärkung der PX-Bindung erhalten. Sie erreicht bei Substitution mit einer zweiten  $C_6F_5$ -Gruppe den höchsten Wert, wie sich aus den Spektren von  $(C_6F_5)_2$ PH und  $(C_6F_5)_2$ PCH $_3$  entnehmen läßt. Eine einfache Kraftkonstantenrechnung zeigt, daß sich folgende Sequenz, aufgeführt nach abnehmender Bindungsstärke, aufstellen läßt.

 $\begin{array}{l} {{C_6}{F_5}PH} > {P{H_3}} > {C_6}{H_5}P{H_2}\,,\\ {{C_6}{F_5}P\left( {{C{H_3}}} \right)_2} > P\left( {{C{H_3}}} \right)_3} > {C_6}{H_5}P\left( {{C{H_3}}} \right)_2\,. \end{array}$ 

Obwohl der  $C_6F_5$ -Rest elektronegativer als die  $C_6H_5$ -Gruppe ist, kann er das Elektronendefizit am Phosphor durch einen größeren  $d\pi - p\pi$ -Bindungsanteil mehr ausgleichen und dadurch eine Verstärkung der PX-Bindung erreichen.

Ersetzt man X durch Halogen, einen Elektronenacceptor, so bewirkt bei Pentafluorphenyl-substituierten Verbindungen die größere Elektronendichte am Phosphor eine Abstoßung der Liganden X und eine daraus resultierende Bindungsschwächung. Die Verhältnisse hierbei sind mit gewissem Vorbehalt zu

| $(C_6F_5)_3P$       | $(C_6F_5)_3PO$       | Zuordnung                          |
|---------------------|----------------------|------------------------------------|
| 1738 s              | 1740 ss              |                                    |
|                     | 1720 ss              | Kombinations-                      |
|                     | 1700 ss              | schwingungen                       |
|                     | 1686 ss              |                                    |
| 1650 st             | 1655 st              | $\omega(C-C)$                      |
| 1600 ss             | 1607 ss              | w(c c)                             |
| 1555 s              | 1561 ss              |                                    |
| 1522 sst            | 1522 sst             | $\omega(C-C)$                      |
| 1485 sst            | 1495 sst             | $\omega(C-C)$                      |
| 1400 880            | 1465 ss              | $\omega(C-C)$                      |
| 1445 ss             | 1405  ss<br>1445  ss |                                    |
| 1392 st             | 1398 st              | (CIE)                              |
|                     |                      | $\nu(CF)$                          |
| 1296 st             | 1308 st              | $\nu(CF)$                          |
| 1268 s              | 1270 s               | $\omega(C-C)$                      |
|                     | 1242 sst             | $\nu$ (PO)                         |
| 1145 m              | 1152 m               | $\nu$ (CF)                         |
| 1098 sst            | 1110 sst             | $\nu(\mathrm{CF})$                 |
| 1070 sch            |                      |                                    |
| 1030 m              | 1030 m, b            |                                    |
| 980  sst            | 995  sst             | $\nu(\mathrm{CF})$                 |
| 849 m               | 840 s                | $\nu(PC)$                          |
| 822 ss              |                      |                                    |
|                     | 770 m                |                                    |
| 765  ss             | 762  ss              |                                    |
| 755 m               | 756 s                |                                    |
| 726 m               | 735 m                | $\delta(\mathrm{CF})$              |
| 662 ss              |                      | ,                                  |
| 653  ss             |                      |                                    |
| 637 m               | 647 m, b             | $\gamma(CF)$                       |
| 624 m               | 635 s                | 7(01)                              |
| 586 m               | 594 m                | $\omega(C-C)$                      |
| 516 st              | 538 st               | $\omega_{\mathbf{x}}(\mathrm{CP})$ |
| 310 St              | 466 st               | $v_{\rm as}({\rm PC}_3)$           |
| 145 m               | Contract Marie       | A Ping (in plane)                  |
| 445 m<br>425 st     | 446 m                | $\delta$ -Ring(,,in-plane")        |
|                     | 494 %                |                                    |
| 414 m               | 424 s                |                                    |
| 200                 | 405 s                | (CD)                               |
| 386 s               | 385 s                | $\omega_{\mathbf{x}}(\mathrm{CP})$ |
| 377 ss              | 376 ss               | $\gamma(\mathrm{CF})$ ?            |
| 370 ss              | 370 ss               | (DC)                               |
| 1                   | 345 st               | $v_{\mathrm{s}}(\mathrm{PC}_3)$    |
|                     | 341 m                |                                    |
| $329 \mathrm{\ st}$ |                      |                                    |
| 315 m               | 317 s, b             | $\delta(CF)$                       |

Tab. 3. Schwingungsspektren von  $(C_6F_5)_3P$  und  $(C_6F_5)_3PO$  (ss = sehr schwach, s = schwach, m = mittel, st = stark, sst = sehr stark, sch = Schulter, b = breit).

behandeln, da Kopplungen der Phosphor-Halogen-Schwingung mit Ringschwingungen nicht auszuschließen sind.

Beim Übergang von den C<sub>6</sub>F<sub>5</sub>PX<sub>2</sub>-Derivaten zum (C<sub>6</sub>F<sub>5</sub>)<sub>3</sub>P sollten die Schwingungen des monosubstituierten Benzolringes im wesentlichen erhalten bleiben, und zusätzlich die noch verbleibenden Linien den Schwingungen der Gruppe PC<sub>3</sub> im Phosphin zugeordnet werden.

Die Tab. 3 enthält die Bandenlagen und Intensitäten von Tris (pentafluorphenyl) phosphin und -Phosphinoxyd sowie ihre Zuordnung.

Weiterhin wurden zum Vergleich die Spektren der Derivate der Phosphorhomologen  $(C_6F_5)_3$ As und  $(C_6F_5)_3$ Sb hinzugezogen. Wie man der Tab. 3 entnimmt, erscheinen alle Schwingungen im Phosphin etwa an den gleichen Stellen, während im Oxyd einige Banden nach höheren Wellenzahlen verschoben sind, was z. T. auf einer Bindungsverstärkung in der P-C-Bindung durch die Substitution mit Sauerstoff zurückzuführen ist.

Zuerst fällt die Absorption bei 1242 cm<sup>-1</sup> auf, welche eindeutig einer P-O-Valenzschwingung zugeordnet werden kann, und die weiter unten eingehend diskutiert wird.

Als nächstes treten zwei Linien auf, für die nach Lage und Intensität auf P-C-Schwingungen geschlossen wird. Die Bande bei 425 cm<sup>-1</sup> wird im Oxyd zu 466 cm<sup>-1</sup>, eine weitere Absorption bei 329 cm<sup>-1</sup> zu 345 cm<sup>-1</sup> verschoben. Hierbei ist mit großer Wahrscheinlichkeit anzunehmen, daß es sich um die Valenzfrequenzen der Gruppe PC<sub>3</sub> handelt, wobei die höhere der antisymmetrischen zugeordnet wird. Um diese Aussage zu verdeutlichen, sind in der Tab. 4 diese Banden mit denen entsprechender im Triphenylphosphin und Triphenylphosphinoxyd verglichen.

|                        | $(\mathrm{C_6H_5})_3\mathrm{P}$ | $(\mathrm{C_6H_5})_3\mathrm{PO}$ | $(\mathrm{C_6F_5})_3\mathrm{P}$ | $(\mathrm{C}_6\mathrm{F}_5)_3\mathrm{PO}$ |
|------------------------|---------------------------------|----------------------------------|---------------------------------|---|
| $v_{ m as} \ v_{ m S}$ | 500                             | 540                              | 425                             | 466                                       |
|                        | 422                             | 455                              | 329                             | 345                                       |

Tab. 4. Valenzschwingungen von R<sub>3</sub>P und R<sub>3</sub>PO.

Durch Substitution mit einem elektronegativen Liganden, in diesem Falle Sauerstoff, wird eine Verschiebung der P-C-Frequenzen erreicht, die für das  $(C_6H_5)_3P$  von Halman und Pinchas diskutiert wor-

<sup>8</sup> H. Siebert, Anwendungen der Schwingungsspektroskopie in der Anorganischen Chemie, Springer Verlag, Berlin 1966.

den ist <sup>9</sup> und von Jensen et al. <sup>10</sup> aus der Tatsache gefordert wird, daß ein linearer Zusammenhang zwischen P-C-Frequenz und der Elektronegativität von O, S und Se besteht.

IR- und Ramanspektroskopische Untersuchungen an Phosphoryl-Verbindungen haben gezeigt, daß sich die Lage der P-O-Valenzschwingung in charakteristischer Weise mit den Substituenten ändert.

Wie Bell und Mitarbb. 11 fanden, besteht zwischen der Summe der Elektronegativitäten der Liganden und der Lage der PO-Absorption ein linearer Zusammenhang. Auch Gruppen komplexerer Natur wie Methyl, Aryl, Alkoxy etc. beeinflussen die PO-Schwingung, und man kann nun aus den gemessenen Bandenlagen der PO-Frequenz diesen Substituenten numerische Werte zuordnen, welche den Paulingschen Elektronegativitäts-Daten vergleichbar sind.

Auch für die Pentafluorphenylgruppe kann eine entsprechende Elektronegativität bestimmt werden.

Der lineare Zusammenhang

$$\lambda(\mu) = \frac{3,995}{39,96 - \sum x_i}$$

wird an Hand der Abb. 1 gezeigt. Aufgetragen sind die PO-Valenzschwingungen verschiedener Phosphoryl-Verbindungen  $R_3PO$  in Abhängigkeit von der Gruppen-Elektronegativität. Beim  $(C_6F_5)_3PO$  läßt sich für die  $C_6F_5$ -Gruppe aus der Abbildung eine Elektronegativität von 2,6 entnehmen.

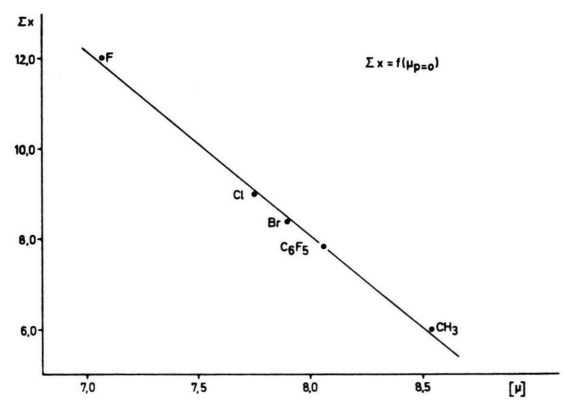


Abb. 1. PO-Valenzschwingungen verschiedener Phosphoryl-Verbindungen.

Dieser Wert stimmt gut überein mit dem aus Messungen des Mößbauer-Effektes an Penta-fluorphenylzinn-Verbindungen zu 2,68 gefundenen 12.

Der Wechsel in der Wellenlänge der PO-Schwingung entspricht einer Änderung der PO-Kraftkonstanten und damit des Bindungsgrades.

Während im (CH<sub>3</sub>)<sub>3</sub>PO die Phosphor-Sauerstoff-Bindung den Charakter einer Einfanchbindung annimmt, kann beim POF<sub>3</sub> der Bindungsgrad bis auf 3 ansteigen, was auch von Wagner <sup>13</sup> nach Berechnungen auf der Basis einer MO-Methode gefordert wird.

Die Ergebnisse zeigen, daß mechanische Kopplungen der PO-Valenzschwingungen mit den PR-Schwingungen in Phosphoryl-Verbindungen nur eine geringe Rolle spielen. Dies berechtigt uns für die tertiären Phosphinoxyde PO-Valenzkraftkonstanten nach dem Zweimassenmodell näherungsweise zu berechnen. In der Tab. 5 sind die PO-Absorptionen und die daraus berechneten Kraftkonstanten angegeben. Nach dem Siebertschen Verfahren 14 wurden daraus die Bindungsgrade bestimmt.

|                      | [cm <sup>-1</sup> ] | $f_{PO} [mdyn/Å]$ | $N_{PO}$ |
|----------------------|---------------------|-------------------|----------|
| $(C_6F_5)_3PO$       | 1242                | 9,60              | 2,4      |
| $(C_6F_5)_2C_6H_5PO$ | 1222                | 9,28              | 2,32     |
| $(C_6F_5)_2CH_3PO$   | 1223                | 9,29              | 2,32     |
| $(C_6F_5)_2C_2H_5PO$ | 1221                | 9,26              | 2,32     |
| $C_6F_5(C_6H_5)_2PO$ | 1201                | 8,96              | 2,24     |
| $C_6F_5(CH_3)_2PO$   | 1193                | 8,84              | 2,21     |
| $(C_6F_5(C_2H_5)PO$  | 1205                | 9,02              | 2,25     |

Tab. 5. Kraftkonstanten und Bindungsgrade von tertiären Phosphinoxyden ( $C_6F_5$ )  ${}_nR_{3-n}PO$ .

Hierbei sind die Bindungsgrade nach der unkorrigierten Formel

$$N = \frac{f_{\rm N}}{f_{\star}}$$

berechnet, da sich für POF<sub>3</sub> ein Bindungsgrad von 3 ergibt und damit in Übereinstimmung mit den Berechnungen von Wagner <sup>13</sup> steht. Untersuchungen an Phosphoryl- und Thiophosphoryl-Verbindungen von Müller, Horn und Glemser <sup>15</sup> ergänzen diese Ergebnisse.

<sup>&</sup>lt;sup>9</sup> M. Halmann u. S. J. Pinchas, J. chem. Soc. [London] **1958**, 3264.

<sup>&</sup>lt;sup>10</sup> K. A. Jensen u. P. H. Nielsen, Acta chem. scand. 17, 1875 [1963].

<sup>&</sup>lt;sup>11</sup> J. V. Bell, J. Heisler, H. Tannenbaum u. J. Goldenson, J. Amer. chem. Soc. 76, 5185 [1954].

<sup>&</sup>lt;sup>12</sup> M. Cordey-Hayes, J. inorg. nuclear Chem. 26, 2306 [1964].

<sup>&</sup>lt;sup>13</sup> E. L. Wagner, J. Amer. chem. Soc. 85, 161 [1963].

<sup>&</sup>lt;sup>14</sup> H. Siebert, Z. anorg. allg. Chem. 273, 170 [1953].

<sup>&</sup>lt;sup>15</sup> A. Müller, H. G. Horn u. O. Glemser, Z. Naturforschg. 20 b, 1150 [1965].

## **Experimentelles**

Die Darstellung der Verbindungen wurde an anderer Stelle beschrieben <sup>1, 16</sup>. Die Aufnahme der Infrarotspektren erfolgte an einem Gerät der Firma Leitz Nr. 072 und Nr. 220.

Unser Dank gilt Herrn Dr. A. Müller für wertvolle Diskussionen. Der Stiftung Volkswagenwerk, der Deutschen Forschungsgemeinschaft und dem Fonds der Chemie danken wir für finanzielle Unterstützung.

<sup>16</sup> M. Fild, O. Glemser u. I. Hollenberg, Naturwissenschaften 52, 590 [1965].

Über Pentafluorphenyl-Verbindungen der V. Hauptgruppe, VI 1

## <sup>31</sup>P-Kernresonanzspektren von Pentafluorphenyl-Derivaten des Phosphors <sup>2</sup>

Manfred Fild, Inge Hollenberg und Oskar Glemser Anorganisch-Chemisches Institut der Univerität Göttingen

(Z. Naturforschg. 22 b, 253-256 [1967]; eingegangen am 14. Oktober 1966)

Die chemischen Verschiebungen  $\delta_P$  der Pentafluorphenyl-substituierten Phosphine und Phosphinoxyde des Typs  $(C_6F_5)_nR_{3-n}P$  und  $(C_6F_5)_nR_{3-n}PO$  (für  $R\!=\!CH_3$ ,  $C_2H_5$ ,  $C_6H_5$ ) werden mitgeteilt und diskutiert.

Eine große Anzahl von Publikationen über die kernmagnetischen Absorptionsspektren anorganischer und organischer Phosphor-Derivate beschäftigt sich mit den Zusammenhängen zwischen gemessenen Daten und Bindungseigenschaften. Es hat sich gezeigt, daß mehrere Faktoren wie z. B. der Hybridisierungszustand, der ionische Charakter und die damit verbundene Änderung der Asymmetrie in der Besetzung der p-Funktionen oder die Ausbildung von Mehrfachbindungen Einfluß haben <sup>3-8</sup>. Diese Effekte können gleich oder entgegen gesetzt gerichtet sein und dadurch die Korrelationen komplizieren.

| Substanz   | $\delta_{ m P}$ [ppm]  | Substanz  | $\delta_{ m P}$ [ppm]  |
|--|--|---|--|
| $\begin{array}{c} C_6F_5(CH_3)_2P \\ C_6F_5(C_2H_5)_2P \\ C_6F_5(C_6H_5)_2P \\ (C_6F_5)_2CH_3P \\ (C_6F_5)_2C_2H_5P \\ (C_6F_5)_2C_6H_5P \\ (C_6F_5)_3P \end{array}$ | $egin{array}{c} +47,8 \\ +23,4 \\ +26,3 \\ +52,2 \\ +44,0 \\ +48,7 \\ +75,5 \\ \hline \end{array}$ | $\begin{array}{c} C_6F_5(CH_3)_2PO \\ C_6F_5(C_2H_5)_2PO \\ C_6F_5(C_6H_5)_2PO \\ (C_6F_5)_2CH_3PO \\ (C_6F_5)_2C_2H_5PO \\ (C_6F_5)_2C_6H_5PO \\ (C_6F_5)_3PO \end{array}$ | $   \begin{array}{r}     -29,7 \\     -41,8 \\     -18,7 \\     -18,7 \\     -19,3 \\     -0,7 \\     +7,8   \end{array} $ |

Tab. 1.  $\delta_P$ -Werte von Phosphinen und Phosphinoxyden.

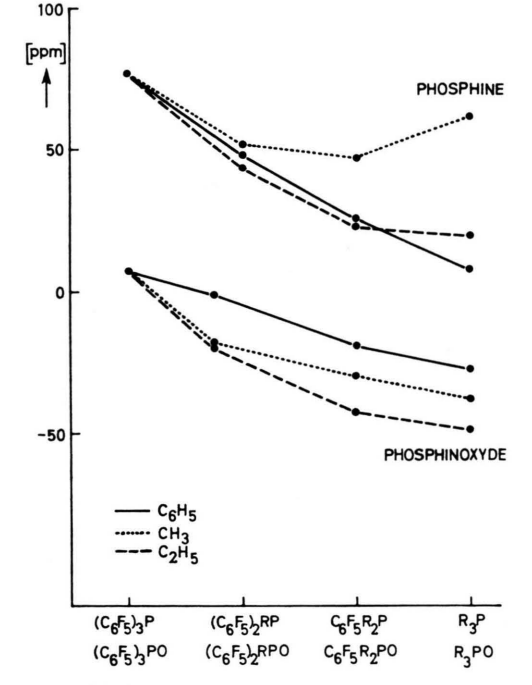


Abb. 1. Phosphine und Phosphinoxyde.

- <sup>1</sup> M. Fild, I. Hollenberg u. O. Glemser, Z. Naturforschg., im Druck.
- <sup>2</sup> M. Fild, Teil eines Vortrages, Westdeutsche Chemiedozenten-Tagung in Würzburg, April 1966.
- <sup>3</sup> H. S. Gutowsky u. D. W. McCall, J. chem. Physics 22, 162 [1954].
- <sup>4</sup> N. Muller, P. C. Lauterbur u. J. Goldenson, J. Amer. chem. Soc. 78, 3557 [1956].
- J. R. VAN WAZER, C. F. CALLIS, J. N. SHOOLERY U. R. C. JONES, J. Amer. chem. Soc. 78, 5715 [1956].
- <sup>6</sup> C. F. Callis, J. R. van Wazer, J. N. Shoolery u. W. A. Anderson, J. Amer. chem. Soc. 79, 2719 [1957].
- <sup>7</sup> J. R. Parks, J. Amer. chem. Soc. 79, 757 [1957].
- <sup>8</sup> L. C. D. Groenweghe, L. Maier u. K. Moedritzer, J. physic. Chem. **66**, 901 [1962].